

POLITECNICO DI TORINO

Laurea Magistrale in Ingegneria Aerospaziale

Tesi Magistrale

Processor in the loop simulations and Code generation for Unmanned Aerial systems

Processor
o
Software?



Relatore:

Prof.ssa Elisa Capello

Co-Relatore:

Dott. Davide Carminati

Autore:

Luigi Sante

Dicembre 2020

Sommario

Ringraziamenti

Indice

Elenco delle tabelle	5
Elenco delle figure	6
1 Introduzione	9
2 Revisione della letteratura	11
3 Sistema Quadrirotore	13
3.1 Descrizione del drone	14
3.2 PX4 Autopilot	15
3.2.1 Architettura del software	15
3.2.2 Strumenti per lo sviluppo del codice	16
3.3 Modello matematico	20
3.4 Leggi di controllo	21
3.4.1 Controllore PID	21
3.5 Algoritmo di guida	24
4 Simulazioni	25
4.1 Simulazione SITL	26
4.1.1 PID	27
4.1.2 SMC	34
4.1.3 Confronto	41
4.2 Conclusioni	42
Bibliografia	43

Elenco delle tabelle

Elenco delle figure

3.1	Architettura del codice di PX4 Autopilot	18
3.2	Architettura del flight stack di PX4	19
3.3	Modello di controllo completo PID	21
3.4	Modello di controllo d'assetto PID	21
3.5	Modello di controllo di altitudine PID	22
3.6	Modello di controllo di posizione PID	22
3.7	Modello di gestione dei segnali di armamento	23
4.1	Risposta del controllore PID di quota al segnale STEP	27
4.2	Segnali PWM del controllore PID al segnale STEP	27
4.3	Risposta in posizione con controllore interno PID al comando SQUARE	28
4.4	Risposta dell'assetto con controllore interno PID al comando SQUARE	29
4.5	Segnali PWM del controllore PID al segnale SQUARE	29
4.6	Traiettoria percorsa con controllore PID al segnale SQUARE	30
4.7	Risposta in posizione con controllore interno PID al comando BUT- TERFLY	31
4.8	Risposta dell'assetto con controllore interno PID al comando BUT- TERFLY	32
4.9	Segnali PWM del controllore PID al segnale BUTTERFLY	32
4.10	Traiettoria percorsa con controllore PID al segnale SQUARE	33
4.11	Risposta del controllore SMC di quota al segnale STEP	34
4.12	Segnali PWM generati del controllore SMC al segnale STEP	34
4.13	Risposta del controllo posizione con controllore SMC al comando SQUARE	35
4.14	Risposta dell'assetto con controllore interno SMC al comando SQUA- RE	36
4.15	Segnali PWM del controllore SMC al segnale SQUARE	36
4.16	Traiettoria percorsa con controllore SMC al segnale SQUARE	37
4.17	Risposta in posizione con controllore interno SMC al comando BUT- TERFLY	38
4.18	Risposta dell'assetto con controllore interno SMC al comando BUT- TERFLY	39

4.19 Segnali PWM del controllore SMC al segnale BUTTERFLY	39
4.20 Traiettoria percorsa con controllore SMC al segnale SQUARE . . .	40

Capitolo 1

Introduzione

La tesi prevede lo sviluppo del software necessario per il governo di un velivolo a pilotaggio remoto, implementando diversi modelli di controllo e validando il controllore con diverse simulazioni.

Data la complessità della generazione del software necessario alla guida e controllo dei velivoli di questo tipo, l'approccio più intuitivo, che permette la collaborazione tra diverse figure professionali quali programmatori, ingegneri aerospaziali e meccatronici, risulta essere sicuramente basata sull'utilizzo di una logica progettuale a modelli. Questo tipo di approccio permette di semplificare lo sviluppo del software, concentrando gli sforzi di chi si occupa della creazione dei modelli di controllo sugli aspetti effettivamente importanti della funzionalità di questi, lasciando la complessità della generazione di algoritmi e le relative basi di dati a chi ha maggiore competenza informatica, attraverso lo sviluppo degli strumenti che automatizzano la generazione del codice e la sua compilazione. Lo sviluppo del software effettuato in questo modo è accompagnato per ogni passaggio dalla corrispondente fase di verifica: MIL, SIL, PIL, HIL; aspetto derivato proprio dalla classica metodologia di sviluppo del software utilizzando il modello denominato a V, e pienamente solidificato in molti settori industriali.

È stato scelto di utilizzare per l'implementazione dell'autopilota il dispositivo PixHawk con il relativo firmware PX4. Lo sviluppo del software avviene quindi specificatamente per questo ecosistema di prodotti e relativi firmware. Il codice è open-source, permettendo la possibilità di essere studiato e modificato. Il codice si trova ad uno stato abbastanza evoluto nello sviluppo, possedendo tutta una serie di funzionalità già sufficiente per gestire un velivolo a pilotaggio remoto. Nel caso però si voglia inserire un personale modello di guida e controllo o di un nuovo stimatore, non sono previsti nativamente strumenti di modellazione, limitando lo sviluppo del software solo alle persone con una competenza informatica alta, incrementando la complessità di progettazione stessa. In definitiva si ha difficoltà di creazione del codice sorgente partendo da un modello, esistono comunque gli strumenti per verificare il codice tramite SIL e PIL.

In modo complementare all'utilizzo di PX4, si affianca l'utilizzo di un tool specifico per Simulink, chiamato "Embedded Coder Support Package for PX4 Autopilots". Grazie a questo tool si permette la generazione del codice in modo automatico partendo dai modelli creati su Simulink e l'inserimento conforme del modulo prodotto all'interno del firmware e delle restanti funzionalità. Integrando quindi gli strumenti di compilazione presenti in PX4 si possono effettuare le simulazioni SIL e PIL, avvicinando lo sviluppo ad un approccio più industriale.

Per testare correttamente il funzionamento di un velivolo a pilotaggio remoto, occorre ricreare in un ambiente simulato il velivolo stesso e le interazioni principali con l'ambiente in cui opera. La scelta dell'ambiente simulato ricade nell'utilizzo di Gazebo. Come anticipato precedentemente la procedura di SIL è nativamente presente nel progetto di PX4. I simulatori selezionabili per questa fase di test sono svariati, il tool di Simulink però limita la scelta ad un simulatore esterno solamente, ovvero JMavSim. Attraverso una procedura particolare però si è reso possibile l'utilizzo di Gazebo, ambiente più versatile e completamente personalizzabile.

Sono stati creati due modelli di controllo delle diverse dinamiche del velivolo e successivamente alla corretta configurazione dei parametri dei controllori, sono stati messi a confronto attraverso simulazioni SIL. Per quando riguarda il controllo di posizione è stato utilizzato un semplice controllore PID, mentre per il controllo di quota e di assetto, sono stati utilizzati rispettivamente un controllore PID e un controllore SMC.

Che tipo di algoritmo di guida è stato utilizzato?

Non è invece stato possibile effettuare correttamente la simulazione PIL a causa di alcuni problemi di comunicazione tra simulatore PixHawk. La trasmissione tra simulatore e autopilota avviene correttamente per quanto riguarda la gestione dei dati dei sensori, ciò non viene altrettanto per quanto riguarda i messaggi da fornire agli attuatori. Questo problema è probabilmente causato dalla differenza sostanziale che c'è tra l'applicazione generata dal tool di Simulink e la logica di base di PX4 nella gestione dei messaggi agli attuatori. Questo aspetto richiede ulteriori indagini in lavori futuri.

Capitolo 2

Revisione della letteratura

Capitolo 3

Sistema Quadrirotore

3.1 Descrizione del drone

3.2 PX4 Autopilot

Il firmware utilizzato nelle simulazioni di software in the loop e processor in the loop è il PX4 Autopilot.

Questo software mette a disposizione diverse funzionalità per avere un sistema di gestione e controllo robusto e affidabile, implementato in diversi tipi di sistemi. L'implementazione non è quindi specifica solo a mezzi aerei di qualsiasi configurazione, ma anche a velicoli di terra, marini e razzi. Il software è open-source e vanta del contributo di parecchi sviluppatori, dagli esperti del settore a contributi di livello accademico. Lo sviluppo open-source permette quindi di aggiungere o modificare le funzionalità messe a disposizione in modo da soddisfare le proprie esigenze e arricchire il progetto generico di nuove funzionalità utili ad altri. Il sistema operativo sulla quale viene eseguito materialmente il codice può essere Nuttx o Linux/macOS la cui distinzione principale in questa applicazione è solo nella gestione di task e thread.

Il sistema operativo Nuttx è un sistema RTOS (Real-Time Operating System) è sviluppato appositamente per implementazioni embeddeed. Essendo sviluppato per un contesto specifico ha tutte le caratteristiche necessarie per essere eseguito in sistemi che devono avere prestazioni migliori con poche risorse disponibili. Vengono utilizzati gli standard POSIX e ANSI. Inoltre, sono implementate funzionalità di programmazione concorrentiale per l'esecuzione di processi in parallelo. Le funzionalità del firmware vengono eseguite in questo sistema come task separati e ogni task può eseguire diversi thread. Nell'implementazione su sistemi Linux/macOS invece i moduli sono eseguiti come thread del processo principale, non c'è quindi una distinzione tra threads e tasks, oltre a non essere ottimizzato per sistemi embeddeed.

3.2.1 Architettura del software

Il firmware è principalmente suddiviso in due categorie di moduli:

- **Flight stack** : composta dalla parte che stima lo stato del sistema e il relativo controllo
- **Middleware** : composta dalle interfacce che collegano i vari moduli interni di PX4 tra di loro e verso l'esterno, con la possibilità di integrare gli hardware utilizzati.

Il sistema quindi separa le varie funzionalità in moduli separati, eseguiti in modo indipendente che scambiano i dati e comandi tra di loro e con l'esterno attraverso messaggi asincroni. Nella figura 3.1 è riportato lo schema di alto livello del software di PX4 e la sua modularità.

Flight stack

Il flight stack, mostrato in figura 3.2 è l'insieme di moduli che si occupano della stima dello stato del sistema e di tutte le funzionalità per il controllo, la guida e la navigazione. Esiste anche un modulo per interfacciarsi con il volo manuale attraverso radiocomando.

Estimator L'estimator è il modulo che prendendo i dati da uno o più sensori determina lo stato attuale del velivolo. E' possibile selezionare diversi tipi di estimato, quello selezionato in questo caso è uno stimatore con filtro di Kalman.

Controller Si occupa di prendere in input i vari punti della pianificazione e confrontarli con lo stato attuale determinato dall'estimator. In questo modo vengono determinati i segnali di comando di output che saranno poi elaborati dal mixer. Questa funzionalità è implementata da più moduli, suddividendo la dinamica lenta e la dinamica veloce del drone. Verrà disabilitata la sua funzionalità per sostituirla con l'applicazione sviluppata su Simulink.

Mixer Il mixer si occupa di tradurre i segnali dei comandi normalizzati di rollio, imbardata, beccheggio e manetta, da consegnare all'hardware che genera gli impulsi pwm utilizzati per il controllo del motore.

Middleware

Questo insieme di moduli si occupa invece di tutte le comunicazioni interne tra processi e tra PX4 e il mondo esterno. È composta principalmente dai driver per i sensori, i canali di comunicazione verso l'esterno e il bus di trasmissione di messaggi attraverso μ ORB e MAVLink. In questo contesto ricade anche la connessione con un simulatore per testare il codice generato nelle varie fasi di validazione.

3.2.2 Strumenti per lo sviluppo del codice

L'intero codice del firmware PX4 viene messo a disposizione attraverso la piattaforma github. Il progetto contiene all'interno le toolchain necessarie per compilare il sistema nei vari sistemi operativi. Agendo sulle varie possibili configurazioni di compilazione è possibile modificare e aggiungere delle funzionalità. Modificando le impostazioni di compilazione si può generare il programma finale da caricare ed eseguire sull'autopilota. Sono presenti anche delle configurazioni per effettuare l'analisi e la verifica del codice generato attraverso l'utilizzo di un ambiente simulato. I simulatori che presentano una configurazione di base sono : Gazebo, jMAVSim , AirSim, Xplane. Per quanto riguarda questa tesi, verrà utilizzato il software Gazebo sfruttando parzialmente il codice già presente e adottando alcune modifiche.

Nulla vieta comunque di poter collegare un simulatore diverso attraverso la creazione di un interfaccia dati con il firmware. Infatti, la connessione viene effettuata attraverso UDP o seriale, utilizzando su essa il protocollo MAVLink.

Prendere spunto dalla guida al tool di simulink

Parlare del codice generato

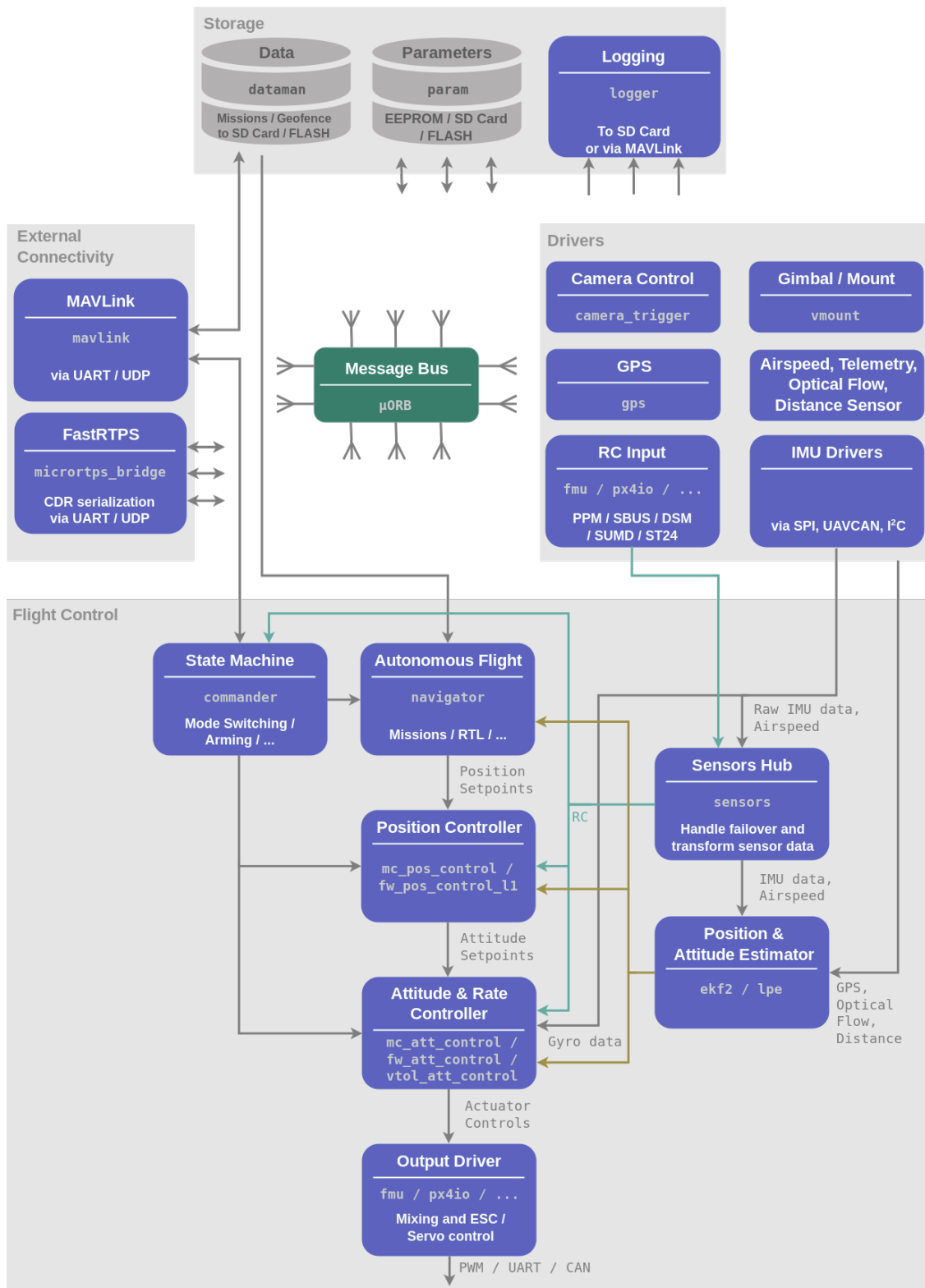


Figura 3.1: Architettura del codice di PX4 Autopilot

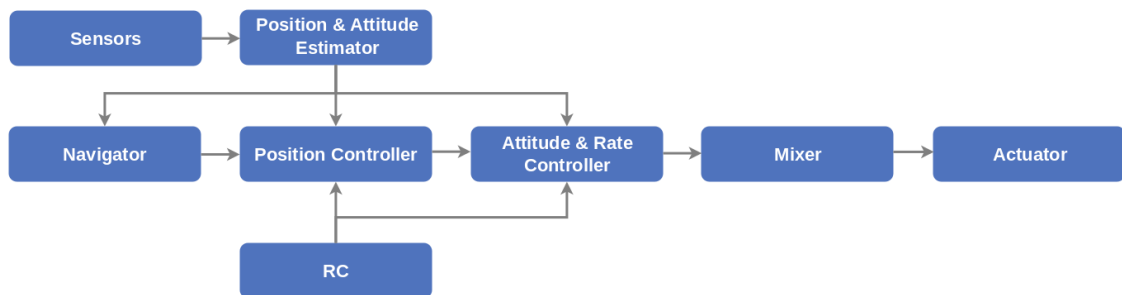


Figura 3.2: Architettura del flight stack di PX4

3.3 Modello matematico

3.4 Leggi di controllo

3.4.1 Controllore PID

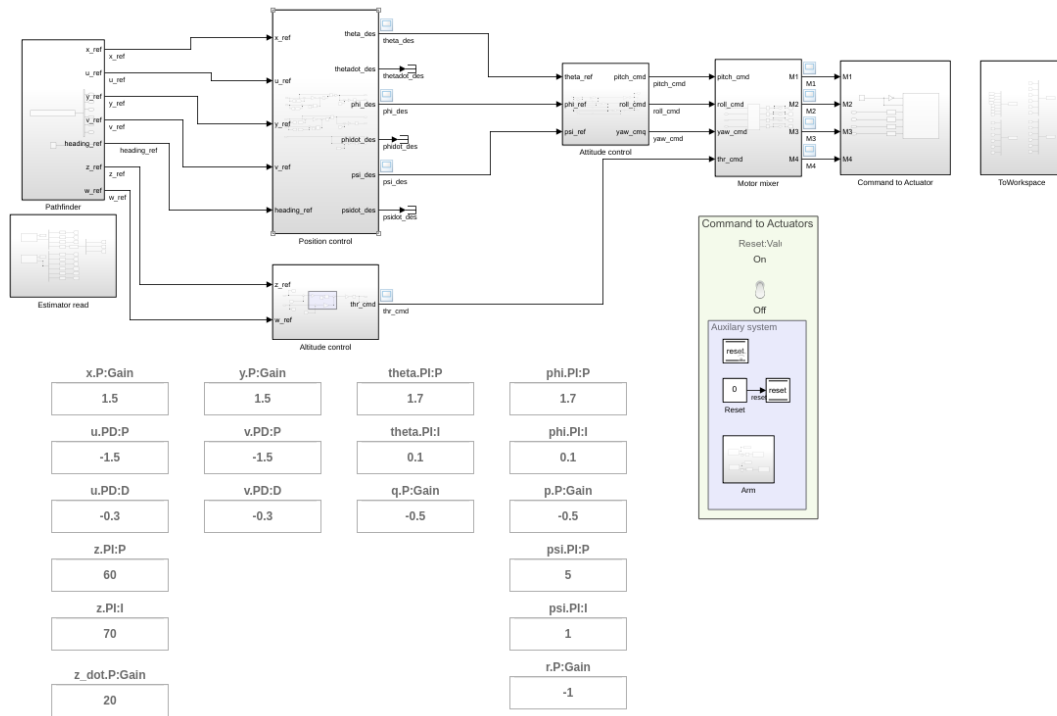


Figura 3.3: Modello di controllo completo PID

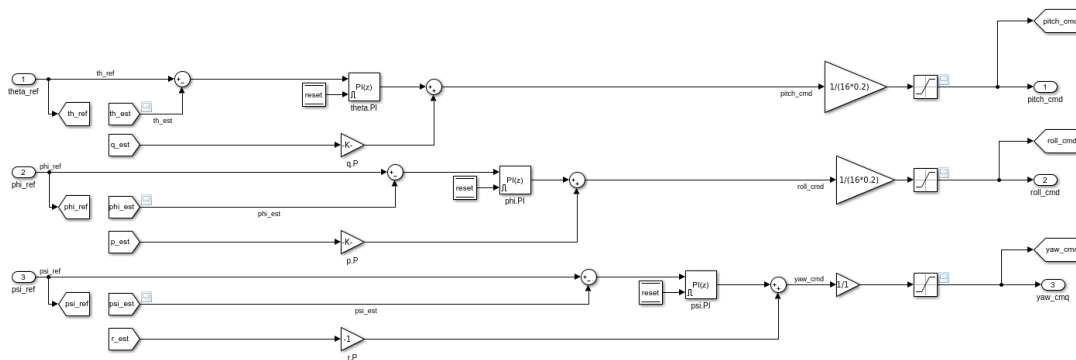


Figura 3.4: Modello di controllo d'assetto PID

Inserire le tabelle con i parametri

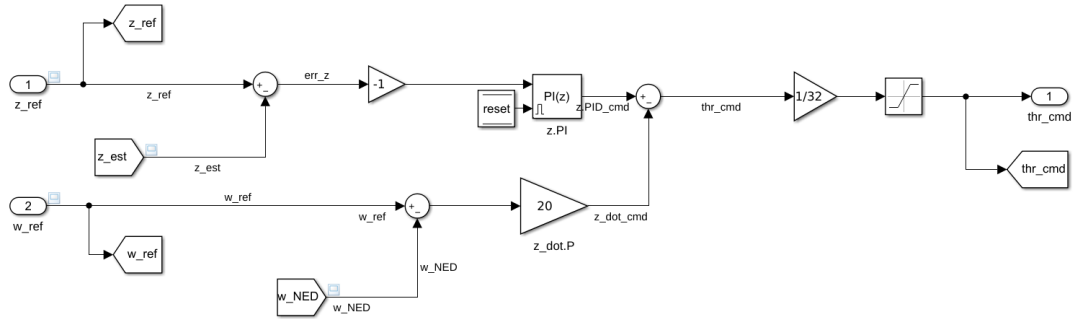


Figura 3.5: Modello di controllo di altitudine PID

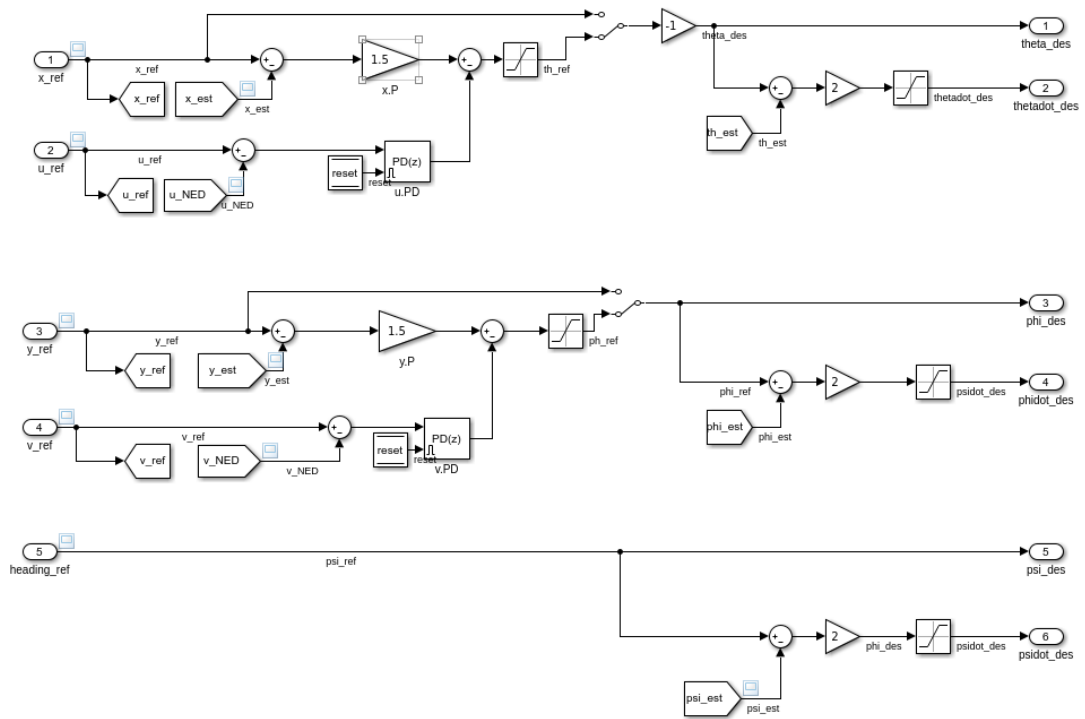


Figura 3.6: Modello di controllo di posizione PID

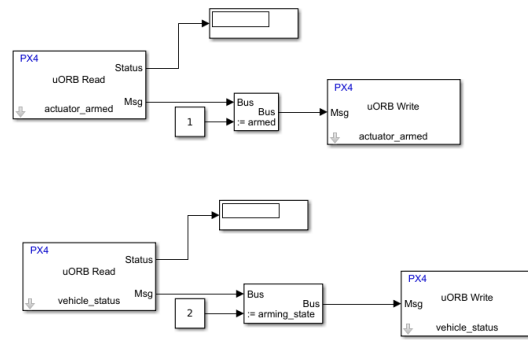


Figura 3.7: Modello di gestione dei segnali di armamento

3.5 Algoritmo di guida

Qual é l'algoritmo di guida?

Capitolo 4

Simulazioni

4.1 Simulazione SITL

```
#File : sil.h
#!/bin/bash

export GAZEBO_MODEL_DATABASE_URI=""

sim=$1

Firmware=$(realpath .)

cp posix-configs/SITL/init/ekf2/iris posix-configs/SITL/init/ekf2/sim

if [ "$#" -lt 1 ]
then
    echo Specificare il simulatore : jmafsim , gazebo
    exit 1
fi

if [ "$sim" == "gazebo" ]
then
    cd build/posix_sitl_default/build_gazebo
    if [ "$(ls -A .)" ]
    then
        echo "Makefile gia' presente"
    else
        echo "Creazione makefile"
        cmake $Firmware/Tools/sitl_gazebo
    fi
    echo "Esecuzione makefile"
    make
    cd $Firmware/build/posix_sitl_default
else
    cd $Firmware/build/posix_sitl_default
fi

$Firmware/Tools/sitl_run.sh $Firmware/build/posix_sitl_default/px4
    posix-configs/SITL/init/ekf2 none $sim sim $Firmware
    $Firmware/build/posix_sitl_default
```

4.1.1 PID

STEP

Tabella dei waypoints

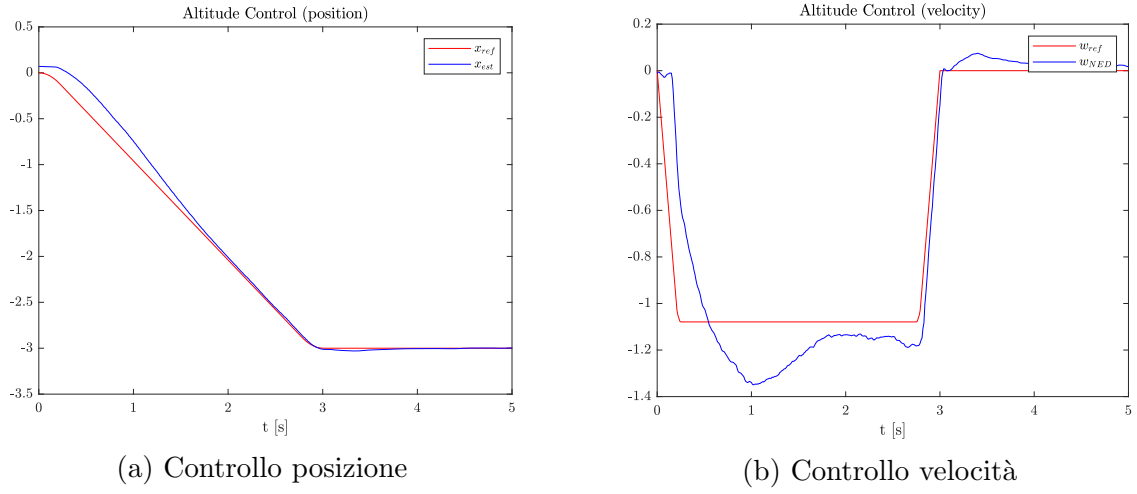


Figura 4.1: Risposta del controllore PID di quota al segnale STEP

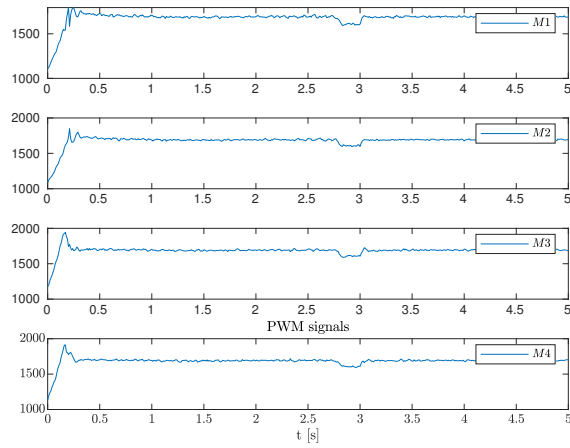
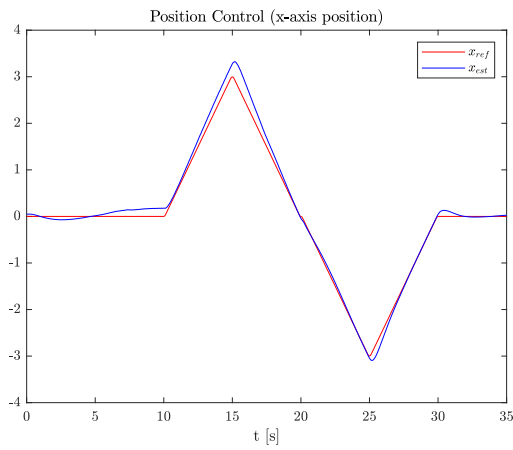
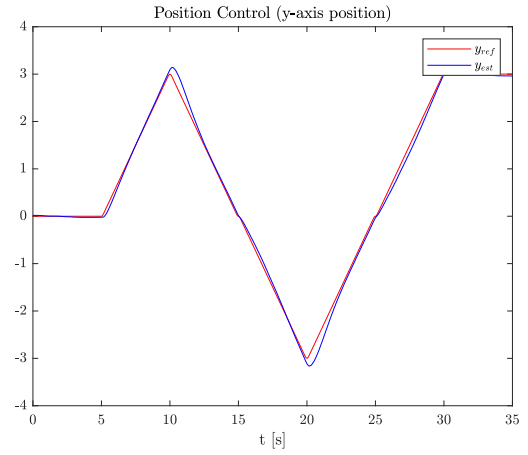


Figura 4.2: Segnali PWM del controllore PID al segnale STEP

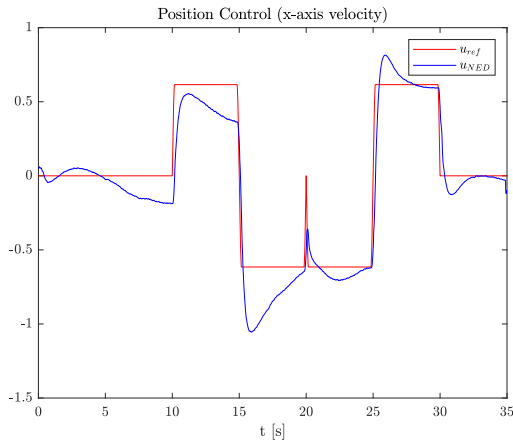
SQUARE



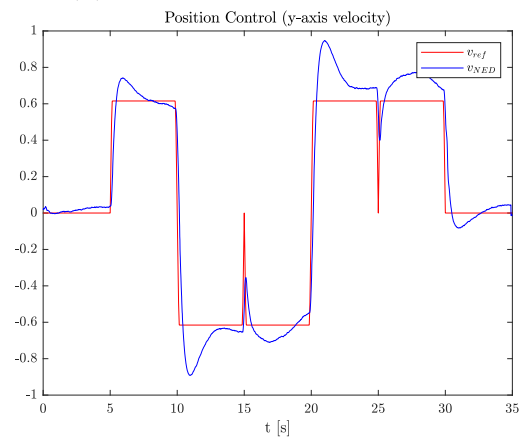
(a) Controllo posizione lungo x



(b) Controllo posizione lungo y



(c) Controllo velocità lungo x



(d) Controllo velocità lungo y

Figura 4.3: Risposta in posizione con controllore interno PID al comando SQUARE

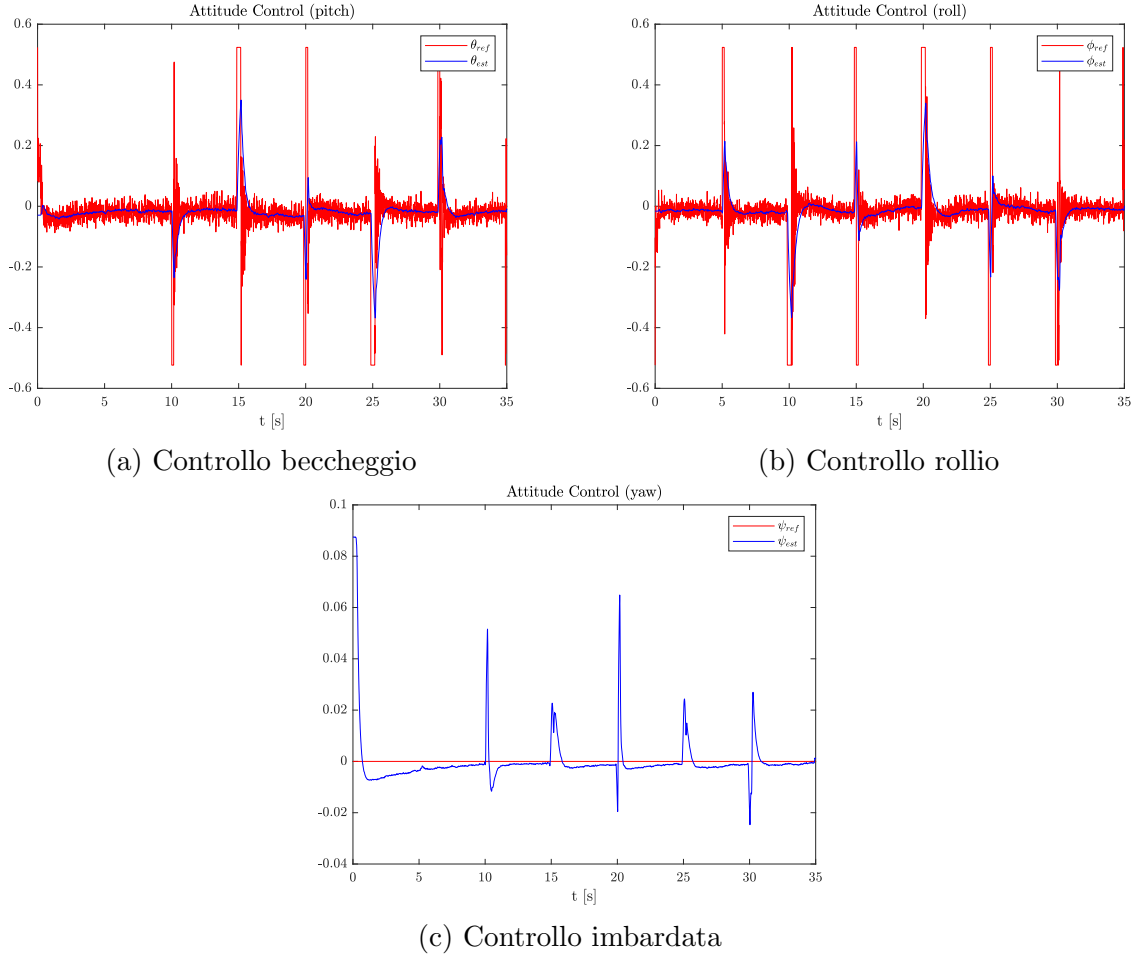


Figura 4.4: Risposta dell'assetto con controllore interno PID al comando SQUARE

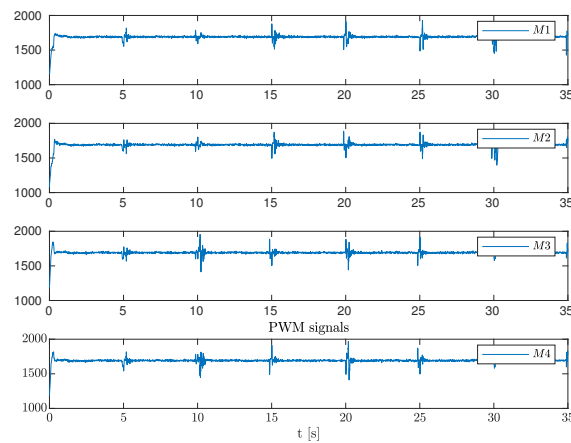


Figura 4.5: Segnali PWM del controllore PID al segnale SQUARE

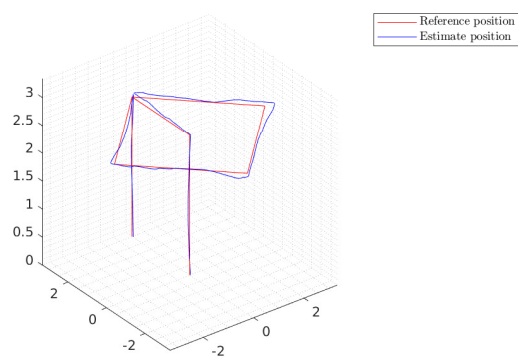


Figura 4.6: Traiettoria percorsa con controllore PID al segnale SQUARE

BUTTERFLY

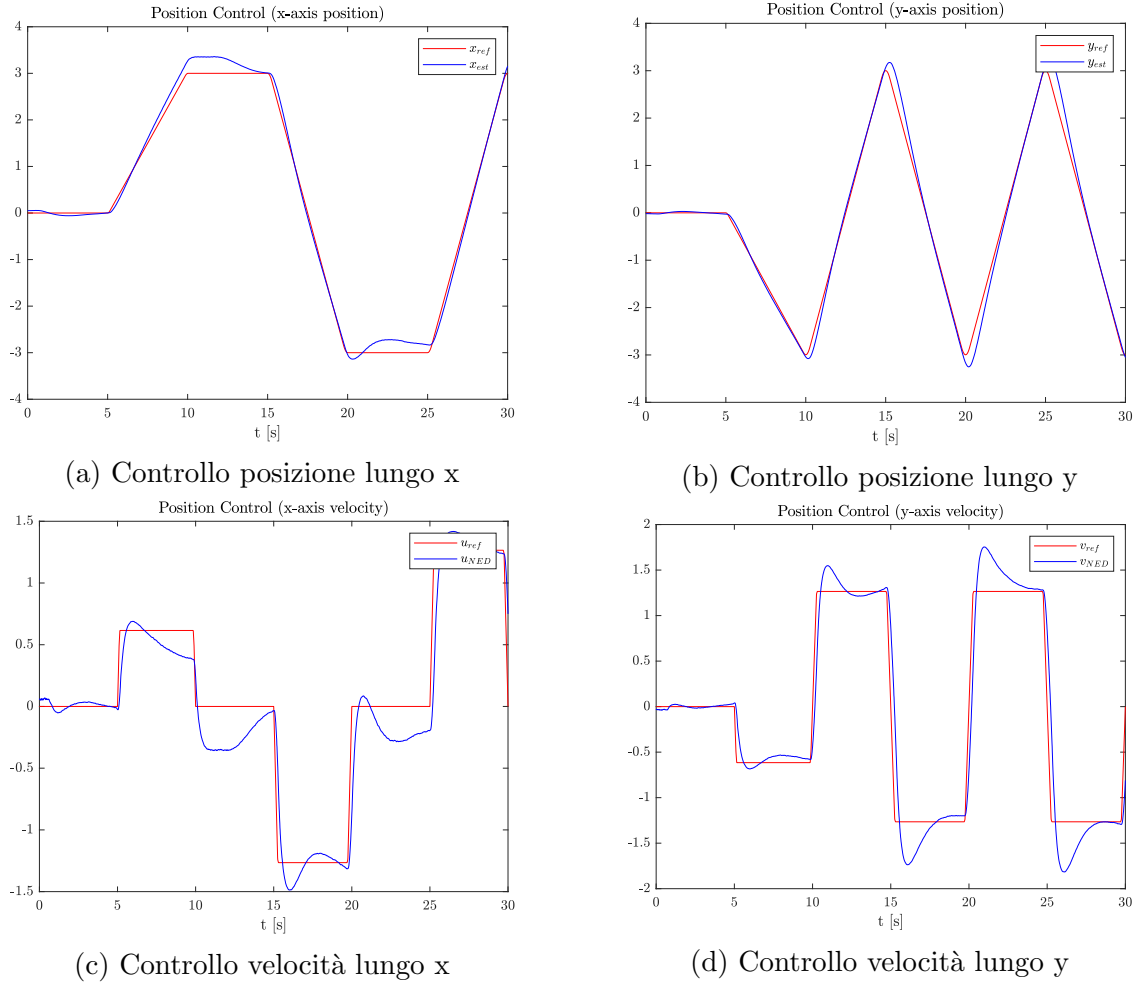


Figura 4.7: Risposta in posizione con controllore interno PID al comando BUTTERFLY

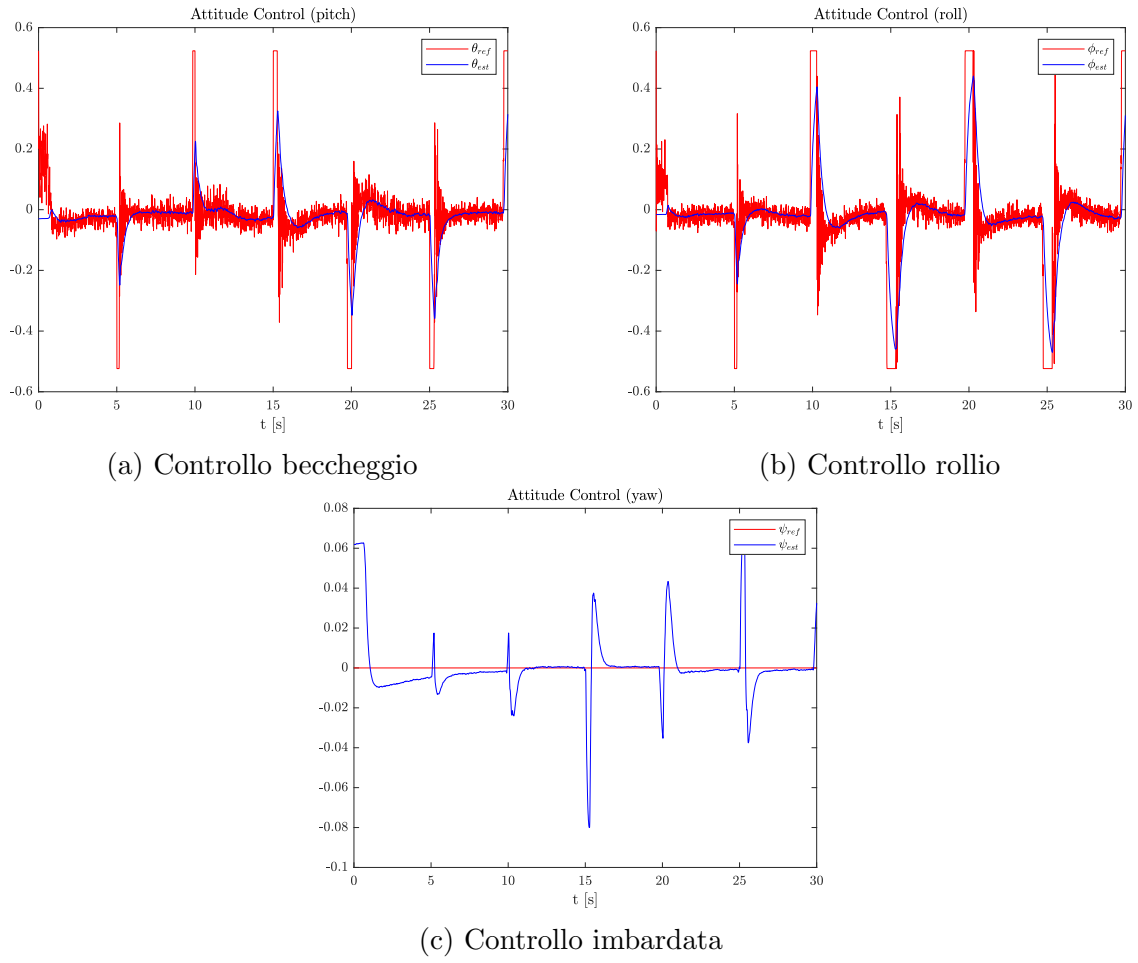


Figura 4.8: Risposta dell' assetto con controllore interno PID al comando BUTTERFLY

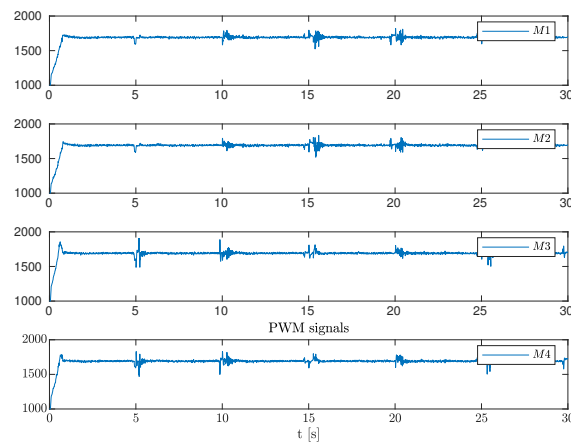


Figura 4.9: Segnali PWM del controllore PID al segnale BUTTERFLY

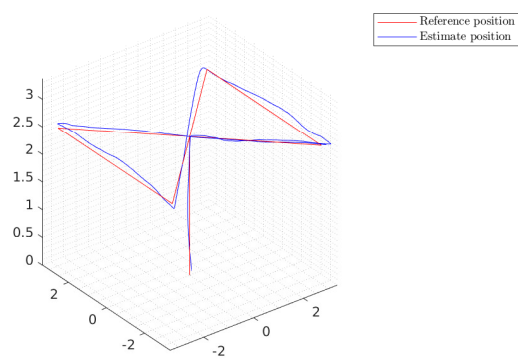


Figura 4.10: Traiettoria percorsa con controllore PID al segnale SQUARE

4.1.2 SMC

STEP

Tabella dei waypoints

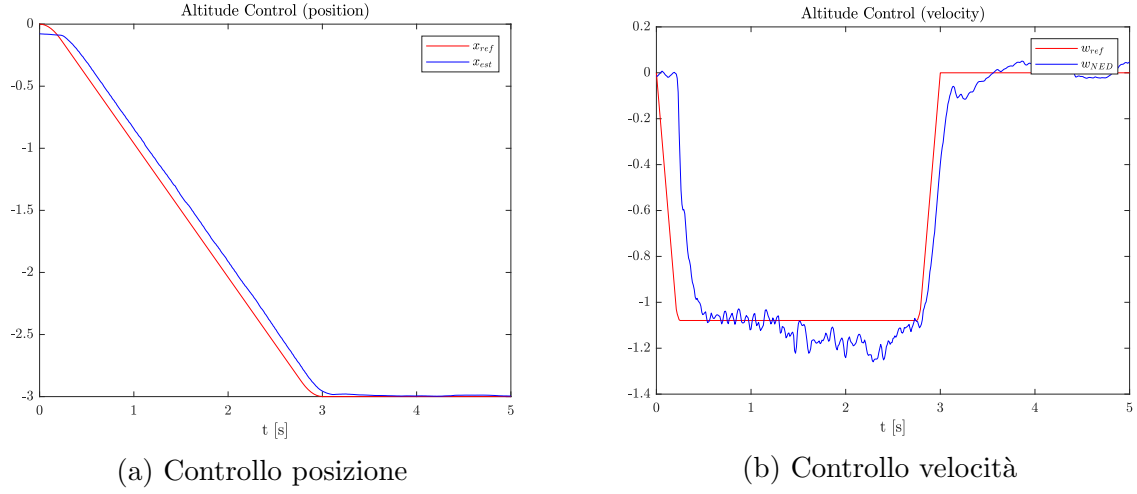


Figura 4.11: Risposta del controllore SMC di quota al segnale STEP

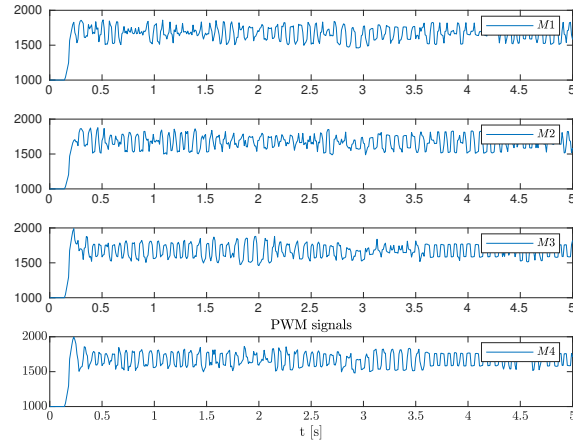
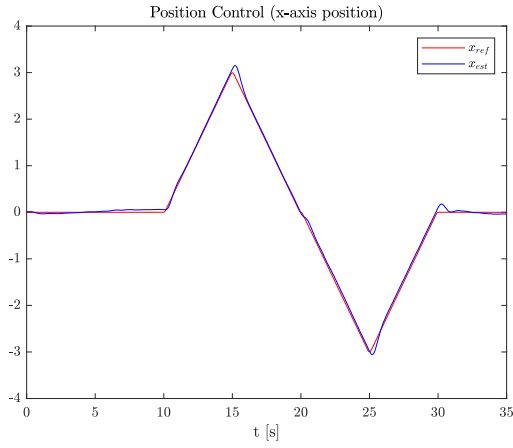
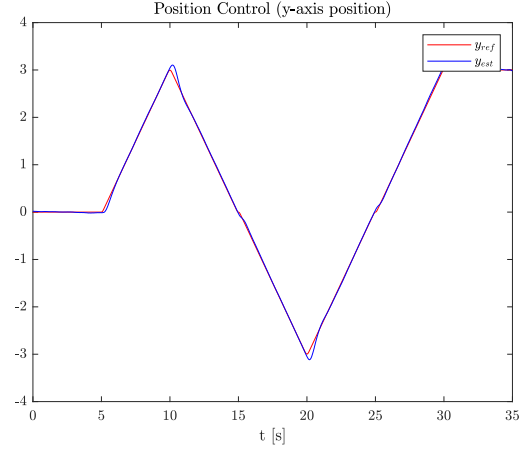


Figura 4.12: Segnali PWM generati del controllore SMC al segnale STEP

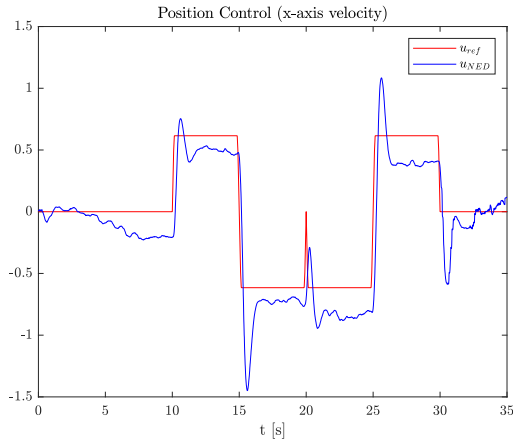
SQUARE



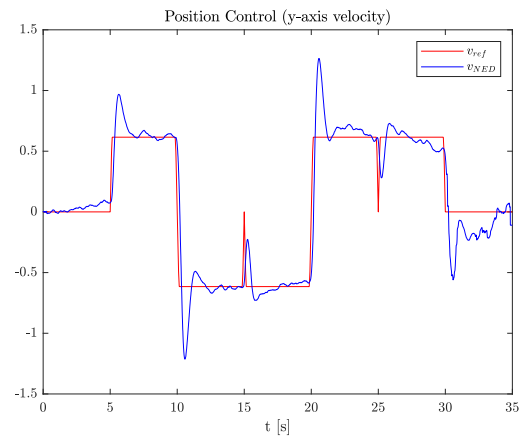
(a) Controllo posizione lungo x



(b) Controllo posizione lungo y



(c) Controllo velocità lungo x



(d) Controllo velocità lungo y

Figura 4.13: Risposta del controllo posizione con controllore SMC al comando SQUARE

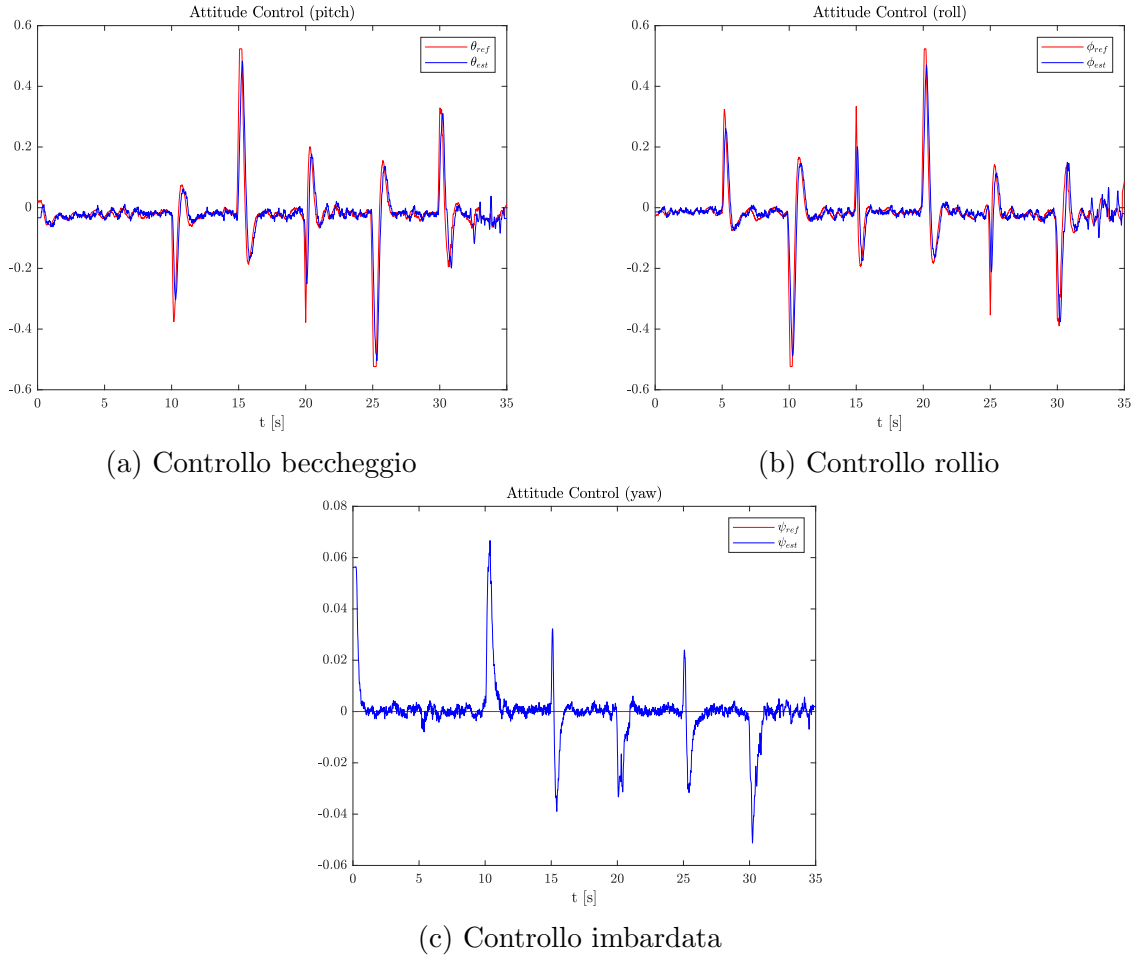


Figura 4.14: Risposta dell' assetto con controllore interno SMC al comando SQUARE

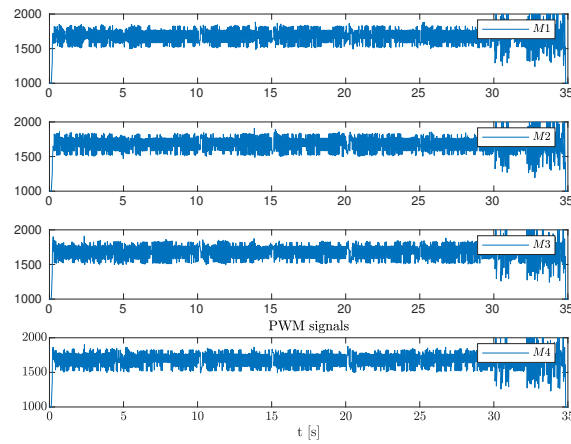


Figura 4.15: Segnali PWM del controllore SMC al segnale SQUARE

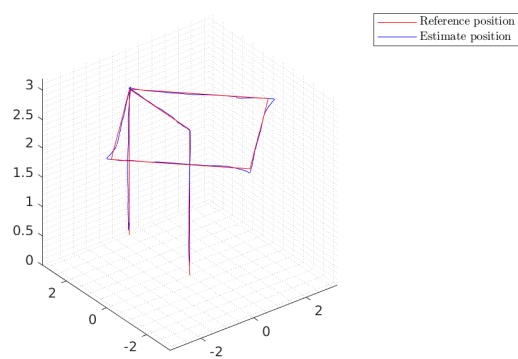


Figura 4.16: Traiettoria percorsa con controllore SMC al segnale SQUARE

BUTTERFLY

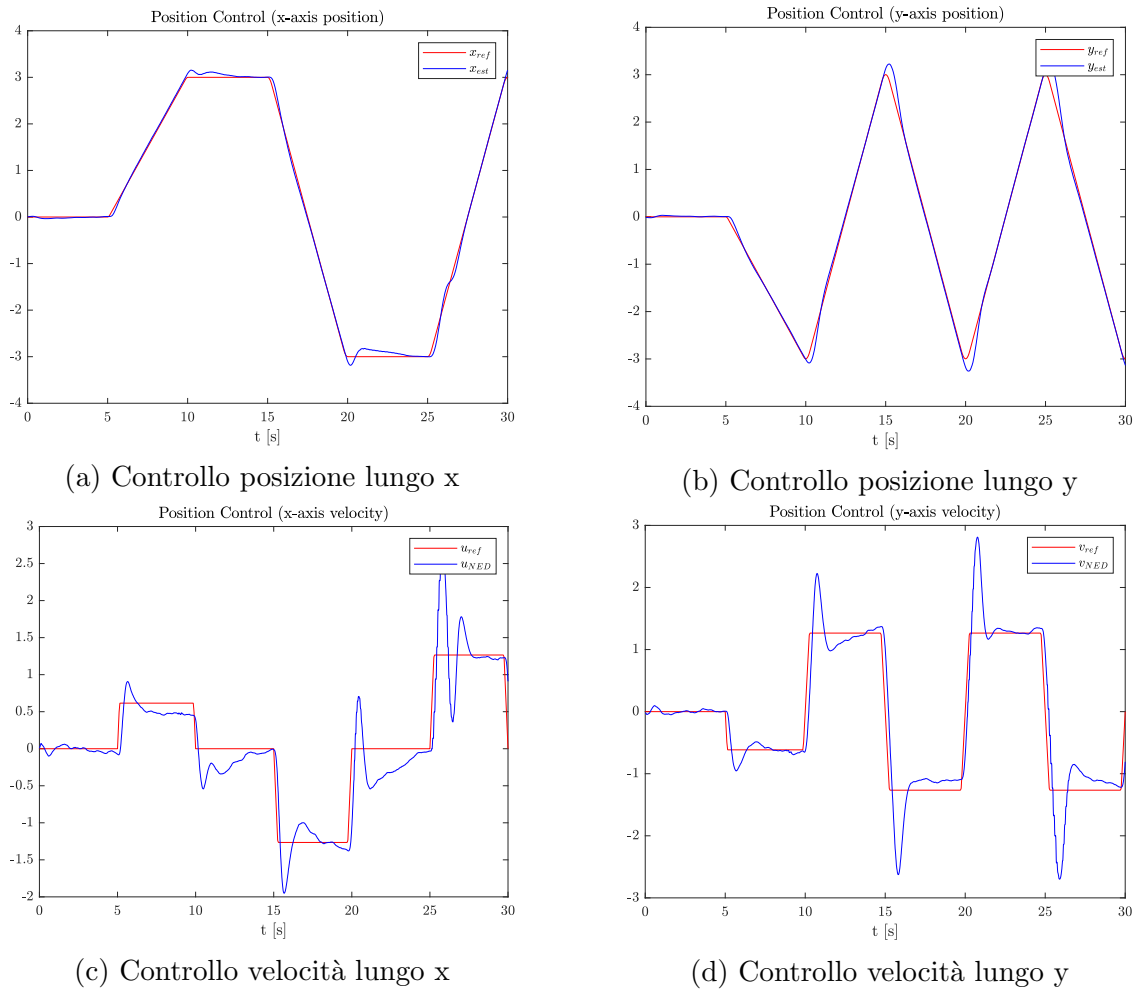
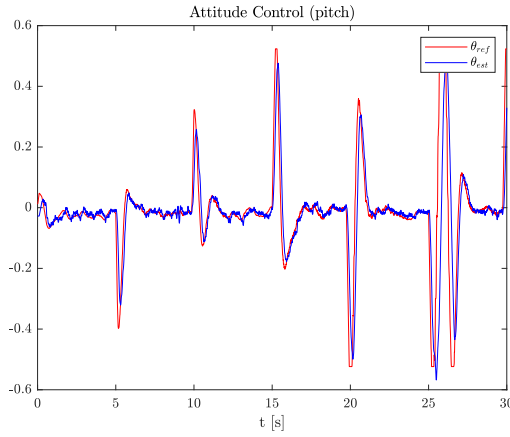
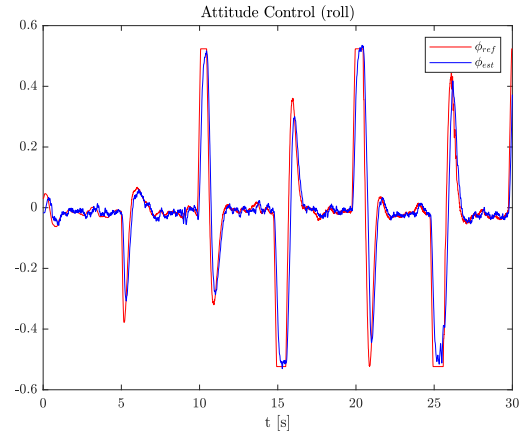


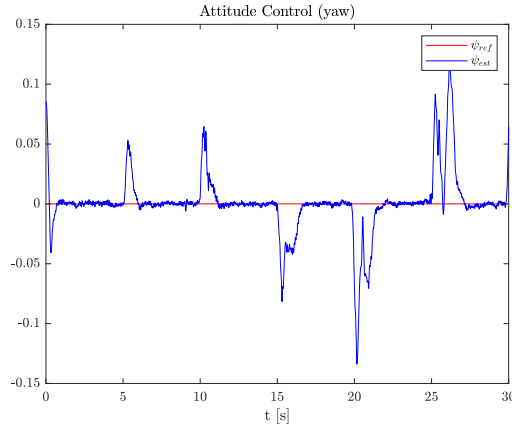
Figura 4.17: Risposta in posizione con controllore interno SMC al comando BUTTERFLY



(a) Controllo beccheggio



(b) Controllo rollio



(c) Controllo imbardata

Figura 4.18: Risposta dell'assetto con controllore interno SMC al comando BUTTERFLY

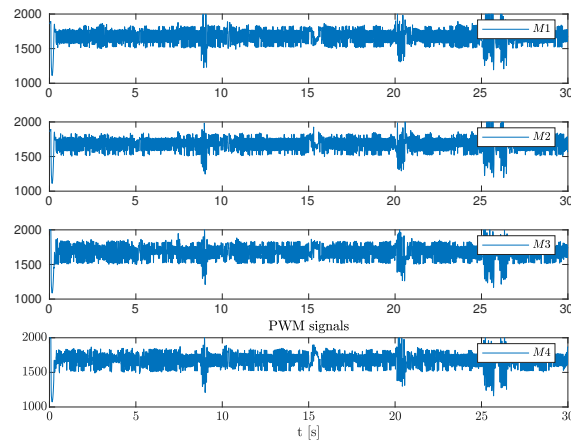


Figura 4.19: Segnali PWM del controllore SMC al segnale BUTTERFLY

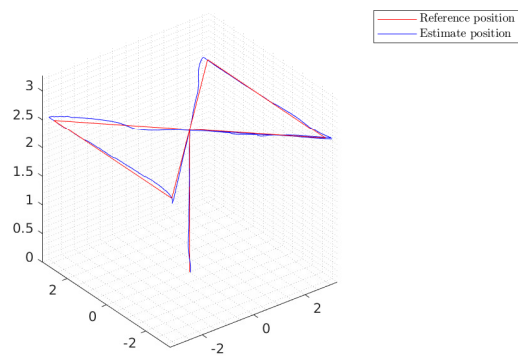


Figura 4.20: Traiettoria percorsa con controllore SMC al segnale SQUARE

4.1.3 Confronto

4.2 Conclusioni

Bibliografia

- [1] Davide Carminati. «Design and Testing of Indoor UAS Control Techniques». Politecnico di Torino, 2019.
- [2] *MAVLink Developer Guide*. Dronecode Project. 2020. URL: <https://mavlink.io/en/> (visitato il 30/03/2020).
- [3] *NuttX*. Wikipedia. 2020. URL: <https://it.wikipedia.org/wiki/NuttX> (visitato il 30/03/2020).
- [4] *PX4 Autopilot User Guide (1.8.0)*. PX4 Dev Team. 2020. URL: <https://docs.px4.io/v1.8.0/en/#px4-autopilot-user-guide--180> (visitato il 30/03/2020).
- [5] *PX4 Development Guide (v1.8.0)*. PX4 Dev Team. 2020. URL: <https://dev.px4.io/v1.8.0/en/index.html#px4-development-guide-v180> (visitato il 30/03/2020).
- [6] Inc. The MathWorks. *PX4 Autopilots Support from Embedded Coder*. 2020. URL: <https://it.mathworks.com/hardware-support/px4-autopilots.html> (visitato il 30/03/2020).